

УДК 532.5.013.4+532.546:536.25

© 1994 г. Х. Г. МАГОМЕДБЕКОВ, М. М. РАМАЗАНОВ

## ГИДРОТЕРМАЛЬНАЯ КОНВЕКЦИЯ В ТОНКОМ ПОРИСТОМ КОЛЬЦЕ

Рассматривается естественная конвекция жидкости в тонком пористом кольце, на границах которого поддерживаются стационарные распределения температур. Для этой задачи на основе двумерных уравнений конвекции получено интегродифференциальное уравнение в нулевом приближении по малому параметру — относительной толщине кольца. Выполнено параметрическое численное исследование полей течений и температур.

Термоконвективные процессы в тонких замкнутых пористых контурах исследованы в [1, 2]. Определены условия возникновения гидротермальной конвекции и показано, что при выполнении определенных критериев устанавливается стационарный поток. Однако при математическом моделировании процессов тепломассопереноса в рассматриваемых системах был введен ряд упрощающих предположений. В частности, предполагалось, что температура и тангенциальная скорость жидкости однородны по поперечному сечению контура, а теплообмен со стенками происходит по закону Ньютона. Это позволило пренебречь эффектами, связанными с конечной шириной контура, и исследовать конвекцию в контуре на основе одномерного уравнения тепломассопереноса («одномерная» модель).

1. Постановка задачи. Пусть пористое кольцо со средним радиусом  $R_0$  и толщиной  $h$  ( $h \ll R_0$ ) расположено в вертикальной плоскости. Предположим, что на границах кольца поддерживаются стационарные распределения температур, убывающие с увеличением угла от 0 до  $\pi$  ( $\varphi$  отсчитывается против часовой стрелки от оси, направленной по вектору ускорения свободного падения  $g$ ). Для двумерной модели естественной конвекции жидкости в кольце система уравнений в приближении Дарси — Буссинеска в цилиндрических координатах в безразмерных переменных и граничные условия имеют вид [3]

$$u_r = - \left[ \frac{\partial p}{\partial r} - (\gamma - T) \cos \varphi \right], \quad u_\varphi = - \left[ \frac{1}{r} \frac{\partial p}{\partial r} + (\gamma - T) \sin \varphi \right] \quad (1.1)$$

$$\begin{aligned} \frac{1}{r} \left[ \frac{\partial (ru_r)}{\partial r} + \frac{\partial u_\varphi}{\partial \varphi} \right] &= 0 \\ \frac{\partial T}{\partial t} + u_r \frac{\partial T}{\partial r} + u_\varphi \frac{1}{r} \frac{\partial T}{\partial \varphi} &= \frac{(h')^2}{Ra} \left[ \frac{\partial^2 T}{\partial r^2} + \frac{1}{r} \frac{\partial T}{\partial r} + \frac{1}{r^2} \frac{\partial^2 T}{\partial \varphi^2} \right] \end{aligned} \quad (1.2)$$

$$u_r(1 - 0,5h', \varphi, t) = u_r(1 + 0,5h', \varphi, t) = 0$$

$$T(1 - 0,5h', \varphi, t) = \Theta_1(\varphi), \quad T(1 + 0,5h', \varphi, t) = \Theta_2(\varphi)$$

$$F_t(r, \varphi, t) = F_t(r, \varphi + 2\pi, t), \quad F_t = \{u_r, u_\varphi, P, T\}$$

$$Ra = \frac{k_p g \alpha / \Delta T c_p h^2}{\lambda \mu R_0}, \quad \gamma = \frac{1}{\alpha / \Delta T} + \frac{T_f}{\Delta T}$$

Здесь  $R_0$  — характерный масштаб длины,  $\Delta T = T_1 - T_f$  — температуры,

$k\rho_f g \alpha \Delta T / \mu$  — скорости,  $R_0 c \mu / (C_0 k \rho_f g \alpha \Delta T)$  — времени,  $\rho_f g \alpha \Delta T R_0$  — давления, где  $T$  — температура;  $u$ , и  $u_\varphi$  — составляющие скорости вдоль  $r$  и по  $\varphi$ ,  $t$  — время;  $P$  — давление в жидкой фазе;  $k$ ,  $C$ ,  $\lambda$  — проницаемость, объемная теплоемкость и коэффициент теплопроводности пористой среды;  $C_0$ ,  $\mu$ ,  $\rho_f$ ,  $\alpha$ , — соответственно объемная теплоемкость, динамическая вязкость, плотность (при температуре  $T_0$ ) и коэффициент температурного расширения подвижной жидкости, насыщающей пористую среду.

Определяющий критерий подобия в рассматриваемой задаче  $\text{Ra}$  — фильтрационное число Рэлея, вычисленное по среднему радиусу кольца  $R_0$ . Так как  $h \ll R_0$ , то в задаче существует малый параметр  $\varepsilon \equiv h' = h/R_0$ . Введем «растянутую» координату  $y = (r - 1)/\varepsilon$  и будем искать решение задачи (1.1), (1.2) в виде

$$u_r = \varepsilon v + \varepsilon^2 v_2 + \dots, \quad u_\varphi = u + \varepsilon u_1 + \varepsilon^2 u_2 + \dots \quad (1.3)$$

$$T = T_0 + \varepsilon T_1 + \varepsilon^2 T_2 + \dots, \quad p = p_0 + \varepsilon p_1 + \varepsilon^2 p_2 + \dots$$

Здесь учтена оценка  $u_r/u_\varphi \sim \varepsilon$ , которая следует из уравнения неразрывности в (1.1). Подставляя (1.3) в (1.1), (1.2), используя методику, описанную в [4], получим задачу для нулевого приближения (индекс ноль у  $T_0$  и  $P_0$  опускаем для краткости)

$$\frac{\partial p}{\partial y} = 0, \quad u = - \left[ \frac{\partial p}{\partial \varphi} + (\gamma - T) \sin \varphi \right] \quad (1.4)$$

$$\frac{\partial v}{\partial y} + \frac{\partial u}{\partial \varphi} = 0$$

$$\frac{\partial T}{\partial t} + v \frac{\partial T}{\partial y} + u \frac{\partial T}{\partial \varphi} = \frac{1}{\text{Ra}} \frac{\partial^2 T}{\partial y^2}$$

$$v(-0,5, \varphi, t) = v(0,5, \varphi, t) = 0, \quad T(-0,5, \varphi, t) = \Theta_1(\varphi), \quad T(0,5, \varphi, t) = \Theta_2(\varphi) \quad (1.5)$$

Необходимо найти периодическое по  $\varphi$  решение задачи (1.4), (1.5).

Введя функцию тока  $\Psi$  и дифференцируя второе уравнение в (1.4) по  $y$ , получим

$$\frac{\partial^2 \Psi}{\partial y^2} = \frac{\partial T}{\partial y} \sin \varphi \quad (1.6)$$

$$u = \frac{\partial \Psi}{\partial y}, \quad v = - \frac{\partial \Psi}{\partial \varphi}$$

Интегрируя это уравнение, находим

$$\Psi = \sin \varphi \int_{-0,5}^y T dy + (y + 0,5) G(\varphi, t) \quad (1.7)$$

где  $G$  — некоторая функция, зависящая только от  $\varphi$  и  $t$ . На  $\Psi$  накладываются ограничения, которые задают условия непроницаемости границ кольца

$$\Psi|_{y=-0,5} = 0, \quad \Psi|_{y=0,5} = u_0(t) \quad (1.8)$$

Из (1.5), (1.6) получим

$$G(\varphi, t) = u_0(t) - \langle T \rangle \sin \varphi, \quad \langle T \rangle = \int_{-0,5}^{0,5} T(y, \varphi, t) dy$$

Здесь  $\langle T \rangle$  — средняя по ширине кольца температура. Подставляя в выражения для  $G(\varphi, t)$ , в (1.6) находим

$$\Psi = \sin \varphi \int_{-0,5}^y (T - \langle T \rangle) dy + u_0(t) (y + 0,5) \quad (1.9)$$

Для определения  $u_0$  воспользуемся вторым уравнением в (1.4)

$$(T - \langle T \rangle) \sin \varphi + u_0(t) = - \frac{\partial p}{\partial \varphi} - (\gamma - T) \sin \varphi$$

Интегрируя обе части этого уравнения по  $\varphi$  от 0 до  $2\pi$ , получим

$$u_0(t) = \frac{1}{2\pi} \int_0^{2\pi} \langle T \rangle \sin \varphi d\varphi \quad (1.10)$$

Можно записать задачу (1.4) в несколько иной форме. Собирая вместе (1.4), (1.5), (1.9), (1.10), получим интегродифференциальное уравнение, описывающее двумерную конвекцию в тонком пористом кольце

$$\frac{\partial T}{\partial t} - \frac{\partial \Psi}{\partial \varphi} \frac{\partial T}{\partial y} + \frac{\partial \Psi}{\partial y} \frac{\partial T}{\partial \varphi} = \frac{1}{Ra} \frac{\partial^2 T}{\partial y^2} \quad (1.11)$$

$$\Psi = \sin \varphi \int_{-0,5}^y (T - \langle T \rangle) dy + \frac{1}{2\pi} (y + 0,5) \int_0^{2\pi} \langle T \rangle \sin \varphi d\varphi$$

Соответствующими граничными условиями для  $T$  будут (1.5).

Задача (1.1), (1.5) обладает рядом особенностей. Во-первых, в отличие от задачи конвекции в стандартной постановке (в которой для функции тока необходимо решить уравнение Пуассона) [5] здесь для функции тока выписано явное представление. Во-вторых, в выражение для функции тока входит величина  $u_0$ , представляющая собой не что иное, как среднюю скорость фильтрации по направлению  $\varphi$ , и которая появляется независимо от конкретного вида граничных условий (1.5).

Для целей последующего обсуждения приведем здесь также уравнение термоконвекции для одномерной модели. Это уравнение было получено в [2] (при условии, что скорость  $u_c$  и температура  $T_c$  однородны по поперечному сечению кольца, а теплообмен с границами задается по закону Ньютона) и имеет вид

$$\frac{\partial T_c}{\partial t} - \left[ \frac{1}{2\pi} \int_0^{2\pi} T_c \sin \varphi d\varphi \right] \frac{\partial T_c}{\partial \varphi} = \frac{K}{Ra} (\Theta - T_c) \quad (1.12)$$

Здесь  $K$  — безразмерный коэффициент теплообмена,  $\Theta$  — температура стенки.

Для решения задачи (1.11), (1.5) была использована неявная продольно-поперечная схема [6].

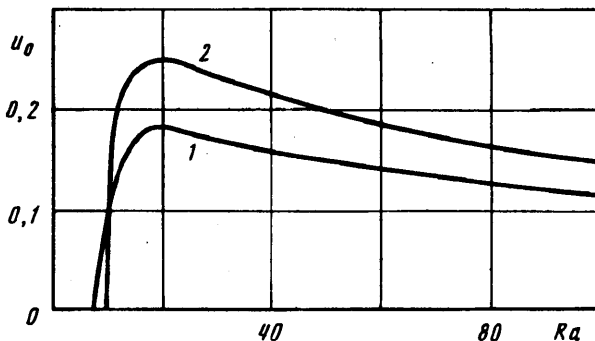
В результате расчетов было установлено, что используемая схема лишь условно устойчива, т. е. имеет ограничение на временной шаг  $\Delta t \leq \tau_0$ , где  $\tau_0$  зависит от числа Рэлея и величин пространственных шагов  $\Delta y$  и  $\Delta \varphi$ .

**Обсуждение результатов.** Основные результаты были получены из расчетов на сетке с числом узлов  $11 \times 64$  ( $\Delta y = 0,1$ ,  $\Delta \varphi \approx 0,1$ ). При этом предполагалось, что

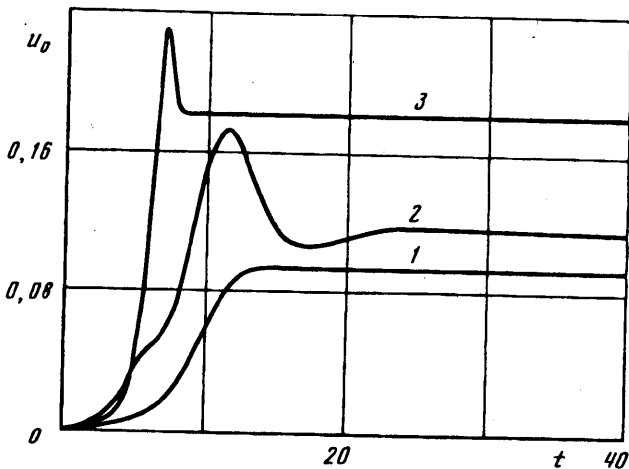
$$\Theta_1(\varphi) = (1 - 0,5h') \cos \varphi, \quad \Theta_2(\varphi) = (1 + 0,5h') \cos \varphi, \quad \Theta(\varphi) = \cos \varphi$$

Амплитуда начального возмущения задавалась в виде  $u_0 = 0,0001$ .

На фиг. 1 представлен график зависимости стационарной скорости циркуляции от числа Рэлея  $Ra$  (кривая 1). Экстраполируя график до пересечения с осью абсцисс, определим критические значения  $Ra_c$ , при превышении которого в кольце возникает циркуляция жидкости:  $Ra_c \approx 8,8$ . При  $Ra > Ra_c$  в кольце устанавливается устойчивый стационарный поток флюида в тангенциальном направлении.



Фиг. 1



Фиг. 2

лении. Об этом свидетельствует, в частности, фиг. 2, на которой представлены графики зависимости скорости циркуляции от времени, полученные соответственно при  $Ra = 10; 20; 100$  (кривые 1—3).

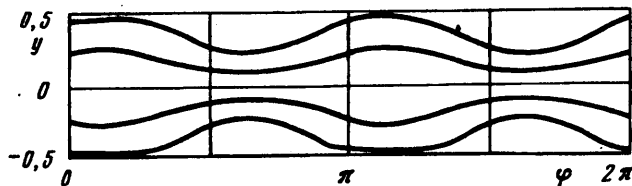
На фиг. 3 представлены изолинии функций тока, рассчитанные при  $Ra = 20$  в «растянутых» координатах  $(y, \varphi)$ . Из этих фигур видно, что при  $Ra > Ra_c$  в кольце устанавливается в основном тангенциальное движение флюида с небольшими вариациями скорости в радиальном направлении, т. е. структура течения носит волнобразный характер. В то же время при  $Ra < Ra_c$  каких-либо заметных движений флюида в кольце не наблюдалось.

На фиг. 4 представлены профили температур в сечении  $\varphi = 0$ , рассчитанные соответственно при  $Ra = 10; 20; 100$  (кривые 1—3). Из этих данных, а также из анализа результатов расчета изолиний функций тока следует, что с увеличением числа Рэлея (при  $Ra > Ra_c$ ) каких-либо качественных изменений в системе не наблюдается.

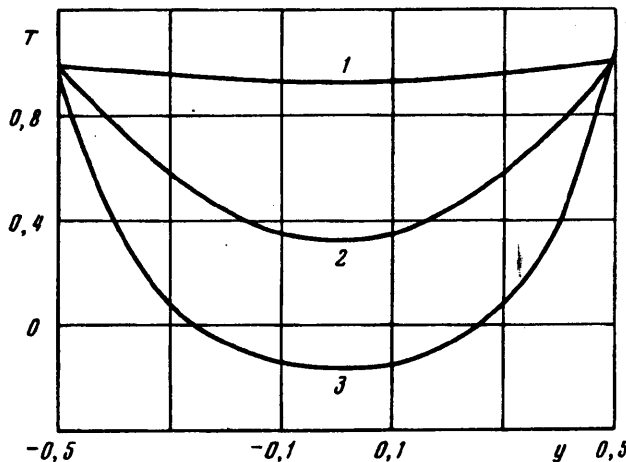
Обсудим теперь некоторые результаты, полученные в рамках одномерной модели [1]. Стационарное решение уравнения (1.12) и соответствующая зависимость стационарной скорости циркуляции от числа Рэлея имеют вид

$$T_c(\varphi) = \frac{K}{Ra} \left[ 2 \cos \varphi + \sqrt{2 \left( \frac{Ra}{K} - 2 \right)} \sin \varphi \right] \quad (2.1)$$

$$u_c = \pm \sqrt{\frac{Ra/K - 2}{2(Ra/K)^2}} \quad (2.2)$$



Фиг. 3



Фиг. 4

Данные, рассчитанные по формуле (2.1) ( $K = 5$ ), приведены на фиг. 1 кривой 2. Сравнение кривых и анализ результатов численного решения уравнения (1.12) показывают, что при  $K = 5$  наблюдается хорошее согласие между результатами одномерной и двумерной моделей. Это свидетельствует о том, что в большинстве практически важных случаев (в частности, когда необходимо исследовать термоконвекцию в контурах, расположенных в геофизической среде [1]) достаточно рассматривать поведение исследуемой системы на основе уравнения (2.1).

#### СПИСОК ЛИТЕРАТУРЫ

1. Магомедбеков Х. Г., Рамазанов М. М. Качественный анализ гидротермальной конвекции в замкнутых флюидонасыщенных контурах. Махачкала: Даг. политехн. ин-т. 1990.— Деп. в ВИНТИ № 26.06.90 № 3637. 15 с.
2. Магомедбеков Х. Г., Гайдаров Г. М., Осман-Заде Ш. С. Гидротермальная конвекция в разломных зонах//Геотермия. Вып. 1. М.: Наука, 1991. С. 113—117.
3. Джозеф Д. Устойчивость движений жидкости. М.: Мир, 1981. 638 с.
4. Найфе А. Х. Введение в методы возмущений. М.: Мир, 1984. 535 с.
5. Клейн И. С., Полежаев В. И. Конвективный теплообмен в проницаемых пористых средах: Препринт № 111. М.: ИПМ АН СССР, 1978. 66 с.
6. Кириюхин А. В., Сугробов В. М. Модели теплопереноса в гидротермальных системах Камчатки. М.: Наука, 1987. 150 с.

Махачкала, Каспийск

Поступила в редакцию  
27.I.1992